HAMP Domänen-vermittelte Signalübertragung: Mutagenese Untersuchungen und biochemische Charakterisierung

Dissertation

der Mathematisch-Naturwissenschaftlichen Fakultät
der Eberhard Karls Universität Tübingen
zur Erlangung des Grades eines
Doktors der Naturwissenschaften
(Dr. rer. nat.)

vorgelegt von Laura García Mondéjar aus Madrid, Spanien

Tübingen 2010

Tag der mündlichen Qualifikation: 21.02.2011

Dekan: Prof. Dr. Wolfgang Rosenstiel

1. Berichterstatter: Prof. Dr. Joachim E. Schultz

2. Berichterstatter: Prof. Dr. Peter Ruth

Berichte aus der Biochemie

Laura García Mondéjar

HAMP Domänen-vermittelte Signalübertragung:

Mutagenese Untersuchungen und biochemische Charakterisierung

D 21 (Diss. Universität Tübingen)

Shaker Verlag Aachen 2011

Bibliografische Information der Deutschen Nationalbibliothek

Die Deutsche Nationalbibliothek verzeichnet diese Publikation in der Deutschen Nationalbibliografie; detaillierte bibliografische Daten sind im Internet über http://dnb.d-nb.de abrufbar.

Zugl.: Tübingen, Univ., Diss., 2011

Copyright Shaker Verlag 2011 Alle Rechte, auch das des auszugsweisen Nachdruckes, der auszugsweisen oder vollständigen Wiedergabe, der Speicherung in Datenverarbeitungsanlagen und der Übersetzung, vorbehalten.

Printed in Germany.

ISBN 978-3-8322-9974-3 ISSN 1434-5536

Shaker Verlag GmbH • Postfach 101818 • 52018 Aachen Telefon: 02407 / 95 96 - 0 • Telefax: 02407 / 95 96 - 9 Internet: www.shaker.de • E-Mail: info@shaker.de

Danksagung

Meinem Doktorvater, Herrn Prof. Dr. Joachim Schultz, möchte ich für die Überlassung des interessanten Themas, die guten Arbeitsbedingungen, die Möglichkeit der Teilnahme an Kongressen und für die hervorragende Unterstützung und sein Vertrauen in meine Arbeit ganz herzlich danken.

Herrn Prof. Dr. Peter Ruth danke ich ganz herzlich für die Erstellung des Zweitgutachtens.

Bei Frau Prof. Dr. Gisela Drews und Herrn Prof. Dr. Klaus Hantke möchte ich mich herzlich für die Abnahme meiner Promotionsprüfung bedanken. Herrn Klaus Hantke danke ich außerdem für die *in vivo* Untersuchungen und seine fachliche Diskussionsbereitschaft.

Ein besonderer Dank gilt Herrn Prof. Dr. Andrei Lupas für die gute Zusammenarbeit und die vielen Ideen, die einen beträchtlichen Teil zum Gelingen dieser Arbeit beitragen haben. Ihm und seinem Team möchte ich ebenfalls für die erfolgreiche Kooperation auf dem Forschungsgebiet der HAMP Domäne danken. Insbesondere möchte ich mich bei Dr. Kornelius Zeth und Dr. Reinhard Albrecht für die Unterstützung bei den Kristallisationsvorhaben und für die zahlreichen Ratschläge bedanken.

Herr Dr. Sigisfredo Garnica und Frau Sabine Silberhorn möchte ich für die Unterstützung bei den Sequenzierungen danken.

Allen Mitarbeitern der Arbeitskreise Ruth und Drews danke ich für die freundliche Atmosphäre und das schöne Miteinander im 7 Stock.

Herr Dr. Marco Gross-Langenhof möchte ich für die freundliche und nette Einführung in die Laborarbeiten und die hilfreichen Tipps herzlich danken.

Für die Bereitstellung der Triple Chimäre und für die hilfreichen Diskussionen und Ratschläge geht mein Dank an PD Dr. J. Linder.

Frau Anita Schultz möchte ich für ihre Hilfe bei den Klonierungen danken.

Frau Dr. Yinglan Guo danke ich für ihre Hilfsbereitschaft und ihre hilfreichen Tipps.

Bei Frau Ursula Kurz bedanke ich mich für jegliche Unterstützung im Labor sowie für ihre Hilfsbereitschaft und ihre Freundschaft.

Meinen Laborkolleginnen Ana Banjac, Janani Natarajan, Kajal Kanchan und Karin Winkler, danke ich für ihre Freundschaft, für die schöne und lustige gemeinsame Zeit und für die netten Fachgespräche, die zum Gelingen dieser Arbeit beigetragen haben. Darüber hinaus ein ganz liebes Dankeschön für die tollen Stunden in- und außerhalb des Labors, die diese Zeit so schön gemacht haben. Ihr seid mir ans Herz gewachsen!

Nochmal ein herzlichen Dankeschön an Frau Karin Winkler für ihre stetige Hilfe und für die zahlreichen Deutschkorrekturen, die mir sehr geholfen haben.

Ein ganz besonderer Dank gilt meinem Freund Andreas Justen, der mich immer unterstütz hat und immer für mich da ist. Das Leben mit Dir ist einfach schöner und dafür danke ich Dir vom ganzen Herzen! Vielen Dank außerdem für das sorgfältige Korrekturlesen und die aufmunternden Worte. Dein Verständnis und Dein Rückhalt, vor allem in den letzten Monaten, haben diese Arbeit mit möglich gemacht.

También agradezco a mi familia y amigos su cariño y apoyo. Muy en especial quiero dar las gracias a mis padres Jose María y Mercedes y a mi hermano Ricardo que, a pesar de la distancia, han estado a mi lado cada día durante todos estos años apoyándome siempre, soportando las malas rachas y queriéndome tal y como soy. Muchísimas gracias por TODO! Os quiero!!!

Inhaltverzeichnis

Abkürzungen	IV
Domänenübersicht und Aminosäuresequenz der verwendeten Chimären	V
Nomenklatur der untersuchten Konstrukte	VII
1 Einleitung	1
1.1 Die HAMP Domäne	
1.2 E. coli Chemorezeptoren	5
1.3 Adenylatcyclasen	
1.4 Zielsetzung	
2 Materialien	
2.1 Enzyme, Kits, Chemikalien und Verbrauchsmaterial	11
2.2 Geräte	11
2.3 Verwendete E. coli Stämme	
2.4 Verwendete Plasmide	12
2.5 Oligonukleotide (Primer)	
2.5.1 Sequenzierprimer	
2.5.2 Klonierungsprimer	
2.6 Puffer und Lösungen	19
2.6.1 für molekularbiologische Methoden	
2.6.1.1 Lösungen zum Arbeiten mit DNA	
2.6.1.2 Nährmedien für E. coli	
2.6.2 für Proteinchemische Methoden	
2.6.2.1 SDS-Polyacrylamidelektrophorese	20
2.6.2.3 Zellernte und Membranpräparation	
2.6.2.4 Proteinreinigung an Ni ²⁺ -IDA	
2.6.2.5 Reinigung der GST-Fusionsproteine	
2.6.2.6 Reinigung der Selenomethionin-markierten Adenylatcyclase	21
2.6.3 für Adenylatcyclase-Enzymtests	
2.6.4 für Kristallisation	
2.6.5 Sonstige Puffer	22
3 Methoden	23
3.1 Gentechnologische Methoden	23
3.1.1 Plasmidisolierung aus E. coli (Miniprep)	
3.1.2 DNA-Auftrennung mittels Agarose-Gelelektrophorese	23
3.1.3 Isolierung von DNA aus Agarose-Gelen	
3.1.4 Entsalzen von DNA	
3.1.5 Konzentrationsbestimmung von DNA	
3.1.6 Restriktionsverdau von DNA	
3.1.7 Glätten von überhängenden DNA-Enden 3.1.8 5'-DNA-Phosphorylierung	
3.1.9 5'-DNA-Phosphorylierung von Plasmid-Vektoren	24
3.1.10 Ligation von DNA	
3.1.11 Polymerasekettenreaktion (PCR)	
3.1.12 Sequenzierung von DNA	26
3 1 12 1 4-Spur-Technik und Auftrennung mittels Polyacrylamidgel	26

3.1.12.2 1-Spur-Technik und Auftrennung durch Kapillar-Gelelektrophorese	27
3.2 Mikrobiologische Methoden	28
3.2.1 Herstellung kompetenter <i>E. coli</i> -Zellen	28
3.2.2 Standardtransformation von <i>E. coli-Z</i> ellen	
3.2.3 Schnelltransformation von E. coli-Zellen	
3.2.4 E. coli-Dauerkulturen	
3.2.5 Blau-Weiß-Screen (α-Komplementation)	
3.2.6 MacConkey Assay	
• •	
3.3 Proteinchemische Methoden	
3.3.1 Proteinexpression	
3.3.2 Zellernte	
3.3.3 Zelllyse	
3.3.4 Proteinreinigung durch IMAC	30
3.3.4.1 mit Ni ²⁺ -IDA	31
3.3.4.2 mit Ni ²⁺ -NTA	
3.3.6 Membranpräparation	
3.3.7 Aufkonzentrierung und Umpufferung	
3.3.8 Proteinbestimmung	
3.3.9 SDS-Polyacrylamid-Gelelektrophorese (SDS-PAGE)	32
3.3.10 Western-Blot	
3.3.11 Cross-Linking	
3.3.12 Gelfiltrationschromatographie	
3.3.13 Verdau mit der TEV-Protease	
3.3.14 Selenomethionin Markierung	
3.4 Adenylatcyclasetest	2.6
3.4.1 Nomenklatur und Statistik der Ergebnisse des AC-Tests	32
3.5 Kristallisation	37
3.6 Klonierungen	37
3.6.1 Vorhandene Ausgangsklone	
3.6.2 Konnektor Mutanten	
3.6.3 Tsr HAMP Mutanten	
3.6.4 Af1503 HAMP Mutanten	48
3.6.5 Tsr-Af1503 HAMP Chimären	65
3.6.6 Tar Rezeptor Konstrukte	69
3.6.7 AC-Linker Mutanten	
3.6.8 Af1503 Holo-Rv3645 Chimären	
3.6.9 HAMP Kristallisationskonstrukte	74
Ergebnisse	75
4.1 Chimären für die biochemische Untersuchung der HAMP Domäne	
4.1.1 Af1503 HAMP - Rv3645 CHD Chimäre	
4.1.1.1 Expression, Reinigung und Kinetik der Af1503-Rv3645 Chimäre.	
4.1.2 Triple-Chimäre	
4.1.2.1 Expression und Charakterisierung der Tsr-Tsr-WT Chimäre	77
4.1.2.2 Expression und Charakterisierung der Tsr-Af1503-WT Chimäre	79
4.1.2.3 Spezifizität der Hemmung in der Triple-Chimäre	
4.2 Untersuchung des Konnektors in der HAMP Domäne	81
4.2.1 Salzbrücken in Af1503 HAMP	
4.2.1.1 E302 Mutanten	
4.2.1.2 R308 Mutanten	
4.2.1.3 H305 Mutante	
4.2.1.4 E302/R308 Doppelmutanten	
4.2.1.5 E302/H305 Doppelmutanten	
4.2.1.6 H305/R308 Doppelmutanten	
4.2.2 NAAIRS Mutante	Ω1

B. Zugriffsnummern der verwendete Gene	145
A. Datenbanken und Bioinformatik	
7 Anhang	
6 Zusammenfassung und Schlussfolgerung	143
5.5 Die Rolle des Linkers in der Signalübertragung an der CHD	141
5.4.4 Die Bedeutung der Konnektor-Kontakte	140
5.4.3 Die Bedeutung der x Position A291	
5.4.2 Die Bedeutung der flankierenden Positionen	136
5.4.1 Die Bedeutung der x-da Positionen	134
5.5 Das grune Netzwerk	
5.2 Die Wechselwirkungen in der Af1503 HAMP Domäne 5.3 Das grüne Netzwerk.	
5.1 Die Rolle des Konnektors	
5 Diskussion	
4.8.1 S288I und S288I/A291I Mutanten	
4.8 Kristallisationsversuche	
4.6 Untersuchung des Linkers der AC	121
4.5 Tar Triple-Chimäre	119
4.4.4 Reste der hydrophilen Dimer-Kontaktfläche	
4.4.3.1 Die Mutante A291F	
4.4.2 Kleine Konnektor-Kontakte 4.4.3 Weitere Untersuchung an der A291 Position	
4.4.1 Flankierende Reste	
4.4 Mutationen in der Af1503 HAMP Domäne	
4.3.6.2.2 S288I und S288I/A291I Mutationen in Af1503-Rv3645	107
4.3.6.2.1 Kinetik der S288I/A291I und der A291I Mutanten	
4.3.6.2 S288I und A291I in der Af1503 HAMP Domäne	105
4.3.6.1 I226S und I229A in der Tsr HAMP Domäne	
4.3.6 Austausch der x-da Reste	
4.3.4 Anpassung der Ladungen	100
4.3.3 Austausch der konservierten Regionen	
4.3.2 Konserviertes Glutamat	
4.3.1 Austausch der Helices	
4.3 Tsr/Af1503 HAMP Vergleich	95

Abkürzungen

AC(n) Adenylatcyclase(n)

A. fulgidus (Af) Archaeoglobus fulgidus

AS Amphiphatische Helix (amphiphatic sequence)¹

AA(s) Aminosäure(n)²

CHD Cyclase Homology Domain
CTR Konnektor (Connector)

IPTG Isopropylthiogalactosid

LB-Medium

M. tuberculosis

Ni²⁺-IDA

Nickel-Iminodiacetic acid

Ni²⁺-NTA

Nickel-Nitrilotriacetic acid

OD optische Dichte
RT Raumtemperatur

SEM Standardfehler des Mittelwertes (*Standard Error of the Mean*)

TEV Tobacco Etch Virus

TEMED N, N, N',N'-Tetramethylethylendiamin

TM Transmembran

Tsr Serin-Rezeptor von E. coli
Tar Aspartat-Rezeptor von E. coli

_

¹ in der Literatur verwendete Bezeichnung.

² die 20 proteinogenen Aminosäuren wurden in der drei-Buchstaben-Abkürzung angegeben. In Kombination mit einer Positionsangabe, bei zwei und mehr aufeinanderfolgenden Aminosäuren und in Namen von Konstrukten wurde das Ein-Buchstaben-Symbol verwendet.

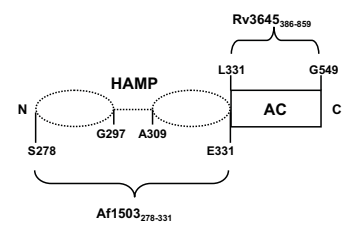
Domänenübersicht und Aminosäuresequenz der verwendeten Chimären

Die Klammern markieren die verschiedenen verwendeten Sequenzbereiche. Die genaue Herkunft und Position in der jeweiligen Ausgangssequenz ist angegeben. Die gestrichelte Linie zeigt Segmente aus Tsr, die gepunktete Linie aus Af1503, die durchgestrichene Linie aus Tar und die durchgehende Linie aus Rv3645.

Af1503-Rv3645 Chimäre (Af1503-WT)

Af1503 HAMP_{S278-E331} Rv3645 CHD_{L331-G549}

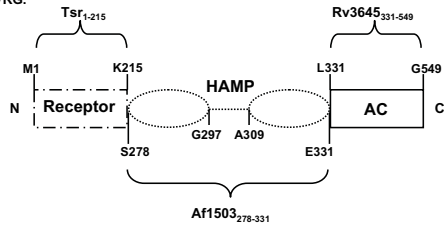
MRGSHHHHHHGSHMSTITRPIIELSNTADKIAEGNLEAEVPHQNRADEIGILAKSIERLRRSL KVAMELRDLFGRYVGEDVARRALERGTELGGQERDVAVLFVDLVGSTQLAATRPPAEVVQ LLNEFFRVVVETVARHGGFVNKFQGDAALAIFGAPIEHPDGAGAALSAARELHDELIPVLGS AEFGIGVSAGRAIAGHIGAQARFEYTVIGDPVNEAARLTELAKLEDGHVLASAIAVSGALDA EALCWDVGEVVELRGRAAPTQLARPMNLAAPEEVSSEVRG.



Tsr-Af1503-Rv3645 Chimäre Tsr-Af1503-WT

Tsr Receptor, Af1503 HAMP, Rv3645 CHD, L331-G549

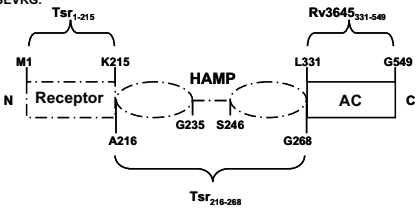
MRGSHHHHHHGSMLKRIKIVTSLLLVLAVFGLLQLTSGGLFFNALKNDKENFTVLQTIRQQQ
STLNGSWVALLQTRNTLNRAGIRYMMDQNNIGSGSTVAELMESASISLKQAEKNWADYEA
LPRDPRQSTAAAAEIKRNYDIYHNALA ELIQLLGAGKINEFFDQPTQGYQDGFEKQYYAYM
EQNDRLHDIAVSDNNASYSQAMWILVGVMIVVLAVIFAVWFGIKSTITRPIIELSNTADKIAEG
NLEAEVPHONRADEIGILAKSIERLRRSLKVAMELRDLFGRYVGEDVARRALERGTELGGQ
ERDVAVLFVDLVGSTQLAATRPPAEVVQLLNEFFRVVVETVARHGGFVNKFQGDAALAIFG
APIEHPDGAGAALSAARELHDELIPVLGSAEFGIGVSAGRAIAGHIGAQARFEYTVIGDPVNE
AARLTELAKLEDGHVLASAIAVSGALDAEALCWDVGEVVELRGRAAPTQLARPMNLAAPE
EVSSEVRG.



Tsr-Tsr-Rv3645 Chimäre Tsr-Tsr-WT

Tsr Receptor+HAMP, 1-G268 Rv3645, 331-G549

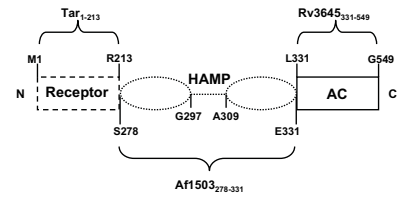
MRGSHHHHHHGSMLKRIKIVTSLLLVLAVFGLLQLTSGGLFNALKNDKENFTVLQTIRQQQ
STLNGSWYALLQTRNTLNRAGIRYMMDQNNIGSGSTVAELMESASISLKQAEKNWADYEA
LPRDPRGSTAAAAEIKRNYDIYHNALAELIQLLGAGKINEFFDQPTGGYQDGFEKQYVAYM
EQNDRLHDIAYSDNNASYSQAMWILVGVMIVVLAVIFAVWFGIKASI,VAFMNRLIDSIRHIAG
GULVKPIEVDSSNEMGQLAESI,RHMQGELMRTYGLRDLFGRYVGEDVARRALERGTELG
GQERDVAVLFVDLVGSTQLAATRPPAEVVQLLNEFFRVVVETVARHGGFVNKFQGDALAI
FGAPIEHPDGAGAALSAARELHDELIPVLGSAEFGIGVSAGRAIAGHIGAQARFEYTVIGDPV
NEAARLTELAKLEDGHVLASAIAVSGALDAEALCWDVGEVVELRGRAAPTQLARPMNLAA
PEEVSSEVEN



Tar-Af1503-Rv3645 Chimäre Tar-Af1503-WT

Tar Receptor_{M1-R213} Af1503 HAMP_{S278-E331} Rv3645 CHD_{L331-G549}

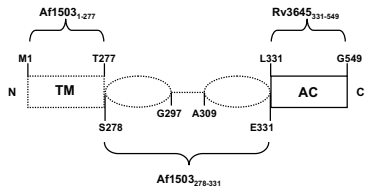
MROSHHHHHHOSMINRIRVVTLLVMVLGVFALLQLISGSLFFSSLHISQKSFVVSNQLREQ
GGELTSTWDLMLQTRINLSRSAVRMMMDSSNQQSNAKVELLDSARKTLAQAATHYKKFK
SMAPLPEMVATSRNIDEKYKNYYTALTELIDYLDVGNTGAYFAQPTQGMQNAMGEAFAQY
ALSSEKLYRDIVTDNADDYRFAQWQLAVIALVVVLILLVAWYGIRSTSTITRPIELSNTADKIA
GONLEAEVPHONRADEIGILAKSIERLRISLKVAMELRUFLGRRYVGEDVARRALERGTELG
GQERDVAVLFVDLVOSTQLAATRPPAEVVQLLNEFRRVVVETVARHGGFVNKFQGDAALA
FGAPIEHPDGAGAALSAARELHDELIPVLGSAEFGIGVSAGRAIAGHIGQAAFEFYTVIGDPV
NEAARLTELAKLEDGHVLASAIAVSGALDAEALCWDVGEVVELRGRAAPTQLARPMNLAA
PEEVSSEVEN



Af1503Holo-Rv3645 Chimäre

Af1503 TM+HAMP_{M1-E331} Rv3645 CHD_{L331-G549}

MRGSHHHHHHGSHMKLTPQIVLIVVVASLVPLSVLGYLTIAGMTSSAEEAKQGVTTVSQEYL
TKAGEEAVRMKAQDLALAVQTYIEAKMKLENKTMLTTFDLIQDPKFRSLGAQRWGAKEYT
WVGAGNKVAGRDVAVILTHPAFTGQYEKYLGVDVAMLRWNETMPELYNLLLKITENPEAP
KPVCGYYHWDDPETPEKEEIPKYLCHYPTTIKVYDPISKGQLWVVVGTSAYIDGYFQYLTON
PANPAENISSEISKSVEGAIQQVYYALGIAAAIAIVFVIVLAVETTSTITTPHIELSNTADKIAEGN
LEAEVPHQNRADEIGILAKSIERLRRSLKVAMELRDLFGRYVGEDVARRALERGTELGGQE
RDVAVLFVDLVSSTDLAATRPPAEVVQLINEFFRVVETVARHGGFVNKFQDAALAIFGA
PIEHPDGAGAALSAARELHDELIPVLGSAEFGIGVSAGRAIAGHIGAQARFETVTIGDPVNEA
ARLTELAKLEDGHVLASAIAVSGALDAEALCWDVGEVVELRGRAAPTQLARPMNLAAPEE
VSSEVRG



Nomenklatur der untersuchten Konstrukte

Für eine bessere Lesbarkeit wurden die untersuchten Konstrukte mit Kurznamen versehen. Konstrukte mit mehreren Mutationen erhielten lediglich eine Nummer (z.B. Mutante 3). Die von A. Lupas entworfenen Konstrukte wurden auch mit Nummern versehen, zusätzlich wurde die Abkürzung LM vorangestellt, um Verwechslungen zu vermeiden.

Kurzname	Klon Beschreibung
Af1503-Rv3645 (Af1503-WT)	HAMP Domäne der Af1503 (278-331) und katalytische Domäne der Rv3645 (331-549)
Tsr-Rv3645 (Tsr-WT)	HAMP Domäne der Tsr (216-268) und katalytische Domäne der Rv3645 (331-549)
Tsr-Af1503-Rv3645 (Tsr-Af1503-WT)	Sensor Domäne der Tsr (1-215), HAMP Domäne der Af1503 (278-331) und katalytische Domäne der Rv3645 (331-549)
Tsr-Tsr-Rv3645 (Tsr-Tsr-WT)	Sensor Domäne der Tsr (1-215), HAMP Domäne der Tsr (216-268) und katalytische Domäne der Rv3645 (331-549)
Tar-Af1503-Rv3645 (Tar-Af1503-WT)	Sensor Domäne der Tar (1-213), HAMP Domäne der Af1503 (278-331) und katalytische Domäne der Rv3645 (331-549)
Af1503 Holo-Rv3645	Transmembranbereich der Af1503 (1-277), HAMP Domäne der Af1503 (278-331) und katalytische Domäne der Rv3645 (331-549)
NAAIRS Mutante	NAAIRS Sequenz zwischen D244 und G245 in der Tsr-Tsr-Rv3645 Chimäre
TEV Mutante	TEV Schnittstelle (ENLYFQG) zwischen D244 und G245 in Tsr-Tsr-Rv3645 Chimäre
Af1503-LILI Mutante	a/d Reste canonical (a=l/d=i) in der Tsr-Af1503-Rv3645 Chimäre; Mutationen: I284L-L287I-A291L-I312-L315I-I319L-L322I
Tsr-LILI Mutante	a/d Reste canonical (a=l/d=i) in der Tsr-Tsr-Rv3645 Chimäre; Mutationen: L218I/M222L/L225/I229L/M249L/L252I/M259I
Mutante 2	Reduktion der Ladungen in Af1503 HAMP in der Tsr-Af1503-Rv3645 Chimäre; Mutationen: E296G-D310N-K317A-R323Q-R324G
Mutante 3	Erhöhung der Ladungen in Tsr HAMP in der Tsr-Tsr-Rv3645 Chimäre; Mutationen: A220R-G234E-N247D-Q260R-G261R
Mutante 4 (Tsr x-da Mutante)	Tsr-Tsr-Rv3645 mit x-da Reste aus Af1503; Mutationen: L218I/M222I/I226S/I229A/M249I/L256I/M259L
Mutante 5	Sensor Domäne der Tsr (1-215), AS1 Tsr (216-234)-CTR Tsr (235-246)-AS2 Af1503 (310-331) und CHD der Rv3645 (331-549)
Mutante 6	Sensor Domäne der Tsr (1-215), AS1 Af1503 (278-296)-CTR Tsr (235-246)-AS2 Tsr (247-268) und CHD der Rv3645 (331-549)
Mutante 7	Sensor Domäne der Tsr (1-215), AS1 Af1503 (278-297)-CTR Af1503 (235-246)-AS2 Tsr (247-268) und CHD der Rv3645 (331-549)

Kurzname	Klon Beschreibung
Mutante 8	Sensor Domäne der Tsr (1-215), AS1 Tsr (216-234)-Linker Af1503 (297-309)-AS2 Af1503 (310-331) und CHD der Rv3645 (331-549)
Mutante 10	Tsr-Tsr-Rv3645 mit Konservierten Regionen aus Af1503; Mutationen: V219T-A220R- M222I-N223I-N347D-M350I
Mutante 11 (Af1503 x-da Mutante)	Tsr-Af1503-Rv3645 mit x-da Reste aus Tsr; Mutationen: I280L-I284M-S288I-A291I-I312M-I319L-L322M
Tar- x-da Tsr Mutante	Tar-Af1503-Rv3645 mit x-da Reste aus Tsr; Mutationen: I280L-I284M-S288I-A291I-I312M-I319L-L322M
Tar- x-da Tar Mutante	Tar-Af1503-Rv3645 mit x-da Reste aus Tar; Mutationen: 1280L- 1284L-L287I-S288I-A291I-I312M-I319V-L322M
Mutante LM3	Tsr-Af1503-Rv3645 mit "grünem Netzwerk" aus Tsr; Mutationen: I280L-T281V-I284M-R308G-A309S-D310N-I312M
Mutante LM4	Tsr-Tsr-Rv3645 mit "grünem Netzwerk" aus Af1503; Mutationen: L218I-V219T-M222I-G345R-S346A-N347D-M350I
Rv3645 CHD	Katalytische Domäne der Rv3645 ab GQE (356-549)
Rv3645 CHD mit linker	Katalytische Domäne der Rv3645 ab DL (333-549)
HAMP-CHD Rv3645	HAMP und katalytische Domäne der Rv3645 ab GKE (278-549)